

03; 12

© 1992

НОВЫЕ ОСОБЕННОСТИ ФИЗИЧЕСКИХ СВОЙСТВ ГОЛУБЫХ ФАЗ ЖИДКИХ КРИСТАЛЛОВ

О.Г. В л о х, Ю.А. Н а с т и ш и н,
Т.М. С о с н о в с к и й

Известно, что наличие трехмерной трансляционной упорядоченности в голубых фазах (ВР) жидких кристаллов (ЖК) проявляется в значительном увеличении вязкости вещества в этих фазах [1]. На рис. 1, а приведена температурная зависимость динамической вязкости η холестерилпеларгоната (ХП). Величина вязкости ЖК однозначно связана со значением электропроводности σ : увеличение вязкости должно приводить к повышению порога возникновения электрогидродинамической нестабильности и уменьшению величины σ . Таким образом, можно ожидать, что переход в ВР будет сопровождаться минимумом на зависимости $\sigma(T)$. На рис. 1, б представлены температурные зависимости $\sigma(T)$ смеси ХП + НОБК (нониоксибензойная кислота) в пропорции 7:3 по весу для различных прикладываемых напряжений. Эксперимент показал, что аномалии $\sigma(T)$ в области голубых фаз отсутствуют, если прикладываемое напряжение U меньше критического напряжения U_{kp}^{ch} возникновения электрогидродинамической (ЭГД) неустойчивости в холестерической фазе (ch) и проявляются в форме неглубоких минимумов, если $U > U_{kp}^{ch}$. Даже при условии $U \gg U_{kp}^{ch}$ при наблюдении в поляризационный микроскоп в ВР фазах ЭГД потоки не наблюдаются, в отличие от ch и изотропно-жидкой (ИЖ) фаз. Величина σ в ВР фазах при этом лишь незначительно меньше (если $U > U_{kp}^{ch}$) или даже больше (если $U < U_{kp}^{ch}$) соответствующих величин в ch фазе (рис. 1, б).

Как показывает эксперимент, возникновение ЭГД потоков в ch и ИЖ фазах приводит к резкому увеличению проводимости в десятки раз. Исчезновение ЭГД потоков при температурных переходах из ИЖ в ВР фазу не приводит к заметному уменьшению проводимости, что свидетельствует о более сложном механизме проводимости вещества в ВР фазах по сравнению с ch фазой. Объяснение поведения $\sigma(T)$ в ВР можно получить, пользуясь одной из предложенных в литературе моделей голубой фазы. Согласно [1], ВР построена из цилиндров с двойной закруткой директора. Промежутки между ними заполнены изотропной жидкостью. Соотношения между объемами, занятymi двойной закруткой и, ИЖ зависит от способа упаковки цилиндров в кристаллическую структуру. ВР, по сути, является собой гетерофазную среду, состоящую из облас-

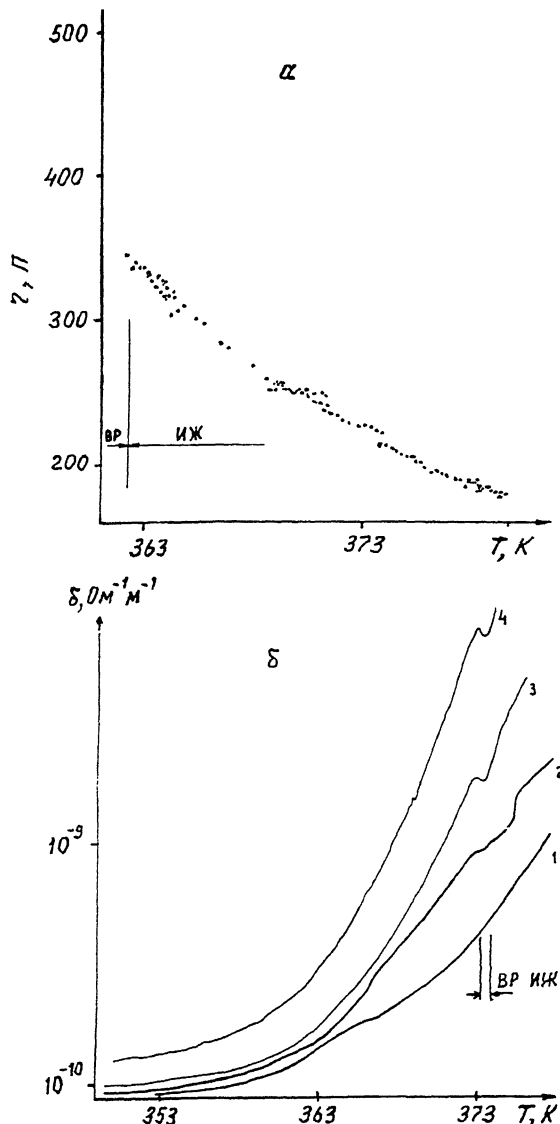


Рис. 1а – температурная зависимость динамической вязкости ХП,
б – температурная зависимость электропроводности смеси ХП+
+ НОБК (7 : 3 по весу) для различных прикладываемых напряжений,
в – температурный гистерезис электропроводности смеси ХП +
+ НОБК.

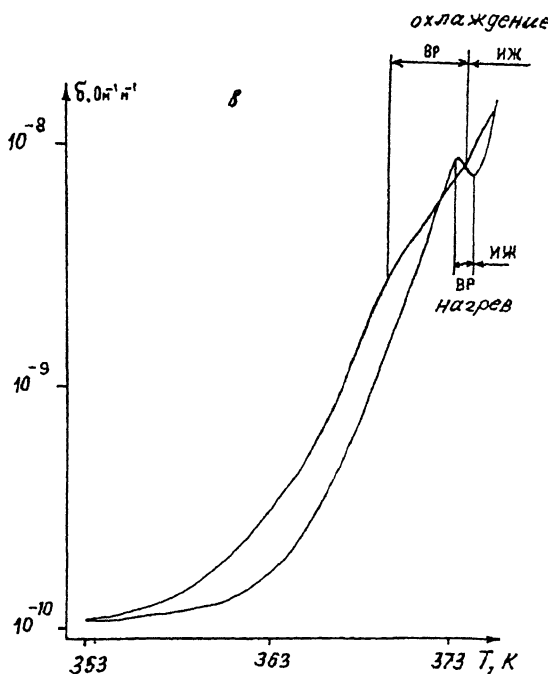


Рис. 1 (продолжение).

тей с разной электропроводимостью. ИЖ промежутки между цилиндрами с двойной закруткой или дисклиниации в других моделях [1] могут быть своеобразными каналами, по которым осуществляется перенос основного количества заряда, что и приводит к большим значениям σ даже без возникновения ЭГД потоков. Приняв, что ВР представляет собой гетерофазную среду в виде кристаллического тела с двойной закруткой директора и включающей в себя изотропно-жидкие каналы, по результатам эксперимента и включающей в себя изотропно-жидкие каналы по результатам эксперимента можно оценить удельную проводимость среды с двойной закруткой директора. Общую проводимость образца голубой фазы площадью S и толщиной l можно записать так:

$$\tilde{\sigma} \frac{S}{l} = \tilde{\sigma}_1 \frac{S'}{l'} + \tilde{\sigma}_2 \frac{S-S'}{l}, \quad (1)$$

где S' – суммарная площадь поперечного сечения цилиндров с двойной закруткой, l' – длина одного канала, $\tilde{\sigma}_1$ и $\tilde{\sigma}_2$ – удельная проводимость цилиндра с двойной закруткой и ИЖ соответственно. Из (1) имеем:

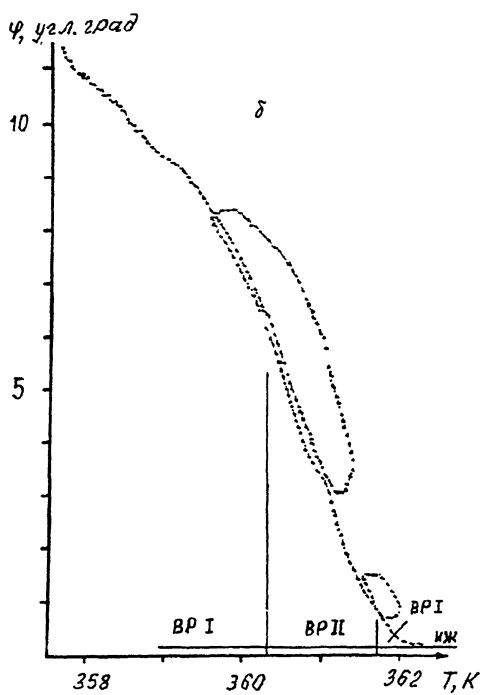
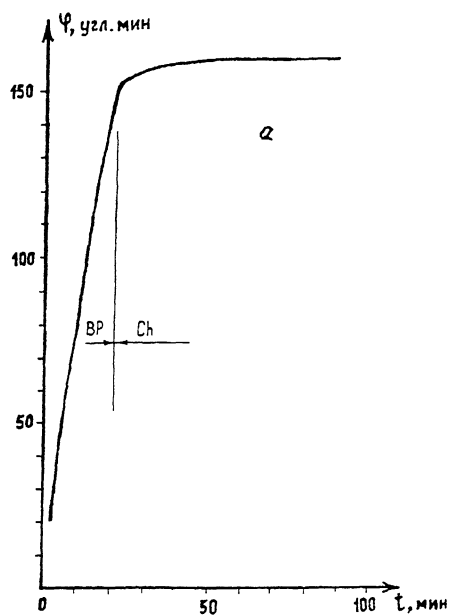


Рис. 2 а - временное изменение оптической активности в ВР, б - петли температурного гистерезиса оптической активности в ВР для ХП.

$$\tilde{\sigma}_1 = \tilde{\sigma}_2 - \frac{3}{S'} (\tilde{\sigma}_2 - \tilde{\sigma}).$$

Из эксперимента $\tilde{\sigma}_1 = 1.20 \cdot 10^{-8} \Omega^{-1} \cdot m^{-1}$, $\tilde{\sigma} = 0.98 \cdot 10^{-8} \Omega^{-1} \cdot m^{-1}$. Используя данные [1, 2], имеем $\frac{S}{S'} = 1.67$. Таким образом, удельная проводимость цилиндра с двойной закруткой $\tilde{\sigma}_2 = 0.68 \cdot 10^{-8} \Omega^{-1} \cdot m^{-1}$. Это значение мало отличается от значения проводимости холестерика. Действительно, сопротивление движению ионов перпендикулярно осиам закрутки для этих двух способов ЖК упорядочения должны мало отличаться между собой, так как в обоих случаях имеется возможность движения ионов перпендикулярно осиам закруток.

Еще одна особенность – температурный гистерезис голубых фаз. На рис. 1, б видно, что в режиме охлаждения голубая фаза претерпевает сильное переохлаждение и интервал ее существования может увеличиваться до 10°C , причем переохлажденное состояние является поразительно устойчивым ко внешним возмущениям. Даже прикладыванием электрического поля напряженностью $E = 50\,000 \text{ В/см}$, приводящего к частичной раскрутке спирали директора, не удается вывести вещество из метастабильного состояния. Однако перемещиванием образца при температуре меньшей температуры перехода из C_h в BP можно перевести вещество из BP в холестерическую fazu.

Возможны, по крайней мере, два механизма температурного гистерезиса при фазовых переходах. Первый из них уже можно назвать классическим. Он заключается в понижении температуры перехода 1 рода при охлаждении по сравнению с температурой T_{Ch-BP} перехода в режиме нагревания. Затягивание перехода обусловлено необходимостью образования поверхности раздела зародыш-исходная фаза. Чем больше примесей и дефектов содержит исходная фаза, тем меньше величина температурного гистерезиса [3]. Эксперимент показал, что полировка подкладок для планарной ориентации молекул ЖК приводит к исчезновению гистерезиса. К такому же эффекту приводит уменьшение толщины образца до значений $d \leq 20 \text{ мкм}$. В больших объемах гистерезис достигает 10°C . Это обстоятельство необходимо учитывать при измерениях температурных зависимостей в больших объемах вещества ($d > 100 \text{ мкм}$). Факты свидетельствуют о том, что с уменьшением количества дефектов в образце величина гистерезиса уменьшается. Это противоречит природе классического гистерезиса при фазовом переходе 1 рода.

Такое поведение может быть объяснено в рамках так называемого глобального гистерезиса [4]. Он наблюдается в кристаллах с несоразмерной структурой. В отличие от классического, увеличение количества дефектов в этом случае приводит к расширению гистерезиса. Происходит так называемый пинг сверхструктуры на

дефектах. Петля температурного гистерезиса при этом наблюдается не только в окрестности фазового перехода 1 рода, а простирается через всю несоразмерную фазу, захватывая температурные области непосредственно окружающих фаз. Именно такое поведение температурной зависимости электропроводности $\sigma(T)$ и представлено на рис. 1, в.

С метастабильности голубой фазы при температурах, меньших температуры перехода Ch -ВР свидетельствует временное изменение оптической активности (рис. 2, а), при постоянной температуре $T < T_{Ch-BP}$. Аномальная устойчивость метастабильного состояния по отношению ко внешним воздействиям может быть также объяснена в рамках глобального гистерезиса вязким трением сверхструктурь, локальной структуры и примесных дефектов голубой фазы. Внутренние циклы температурного гистерезиса в ВР имеют вид параллелограммов (рис. 2, б). При медленном изменении температуры ($V=0.25$ град/мин) форма их можетискажаться за счет кинетических явлений. Отметим, что кинетические явления при постоянной температуре являются одним из характерных свойств несоразмерных фаз [5].

Расширение температурного гистерезиса с увеличением количества примесных дефектов, аномальная устойчивость переохлажденного состояния ко внешним воздействиям, форма петли температурного гистерезиса и его внутренних циклов, кинетические явления свидетельствуют о глобальном характере температурного гистерезиса. Более того, такие особенности физических свойств могут быть дополнительными косвенными доказательствами существования сверхструктурь в строении голубой фазы.

Список литературы

- [1] Wright D.C., Merrin N.D. // Rev. of Modern Phys. 1989. V. 61. N 2. P. 385-432.
- [2] Meibom S., Sammon M., Brinkman W.F. // Phys. Rev. A. 1983. Т. 27. N 1. Р. 438-454.
- [3] Ландау Л.Д., Лифшиц Е.М. Статистическая физика. Ч. 1. М.: Наука, 1976. 583 с.
- [4] Влох О.Г., Половинко И.И., Настышин С.А., Свелеба С.А. // Письма в ЖТФ. 1990. Т. 16. В. 7. С. 29-33.
- [5] Влох О.Г., Каминский Б.В., Кигык А.В., Половинко И.И., Свелеба С.А. // ФТТ. 1987. Т.29. В. 7. С. 2215-2217.